

УДК 538.955

© 1990

О СТАЦИОНАРНОМ ОХЛАЖДЕНИИ
ПАРАМАГНИТНЫХ ЦЕНТРОВ Ge^{3+}
В КВАРЦЕ С ПОМОЩЬЮ ЭЛЕКТРИЧЕСКИХ ПОЛЕЙ

A. B. Брик, A. L. Лариков, I. V. Матяш

Исследованы процессы передачи неравновесной поляризации от $\text{Al}-\text{O}^-$ к Ge^{3+} центрам в кварце при воздействии на кристалл переменного электрического поля E (частота поля $\nu_F = 400$ Гц, напряженность $E = 6 \div 30$ кВ/см). Эксперименты выполнены на кристаллах кварца методом ЭПР при 4.2 К. Определены зависимости интенсивности сигналов ЭПР, а также времени спин-решеточной релаксации Ge^{3+} центров от разности резонансных частот Ge^{3+} и $\text{Al}-\text{O}^-$ центров. Показано, что в рассматриваемом объекте поле E стационарно охлаждает Ge^{3+} и $\text{Al}-\text{O}^-$ центры до спиновых температур ниже температуры решетки.

Эффекты влияния электрических полей E на поляризацию парамагнитных центров (ПЦ) в магнитном поле являются мощным инструментом изучения динамики спиновых систем. Они вскрывают природу магнитоэлектрической связи в твердых телах и открывают возможности управления магнитными характеристиками кристаллов с помощью электрических полей. Рассматриваемые эффекты могут проявляться в радиоспектроскопии [1, 2], оптике [3] и в других экспериментах.

В работах [1, 4, 5] описан эффект гигантского увеличения намагниченности парамагнетика полем E . Эффект наблюдался на $\text{Al}-\text{O}^-$ центрах в кварце и проявлялся в стационарном увеличении интенсивности сигналов ЭПР переменным полем E . В настоящей работе описаны эксперименты по увеличению интенсивностей сигналов ЭПР Ge^{3+} центров в кварце при воздействии на образец, содержащей также и $\text{Al}-\text{O}^-$ центры, переменных электрических полей. Установлено, что увеличение интенсивности сигналов ЭПР Ge^{3+} центров происходит благодаря связи (посредством кроссрелаксации) этих центров с $\text{Al}-\text{O}^-$ центрами. Эксперименты показали, что с помощью нерезонансных электрических полей можно управлять спиновой температурой парамагнитных центров в кристаллах и поддерживать их в стационарном неравновесном с решеткой состоянии сколь угодно длительное время.

1. Эксперимент

Измерения проведены на супергетеродинном спектрометре ЭПР 3-см диапазона при $T = 4.2$ К. Методика приложения электрических полей была аналогична описанной в работах [1, 5]. Были исследованы образцы кварца, в которых содержались $\text{Al}-\text{O}^-$ центры [6], а также центры Ge^{3+} [7]. При вращении кристалла в магнитном поле разность резонансных полей для $\text{Al}-\text{O}^-$ и Ge^{3+} центров $|H_0^{(1)} - H_0^{(2)}|$ можно менять в широких пределах ($H_0^{(1)}$ — резонансное поле для $\text{Al}-\text{O}^-$ центров, $H_0^{(2)}$ — для центров Ge^{3+}).

Установлено, что поле E непосредственно на Ge^{3+} центры не действует. Однако при наличии в образце одновременно $\text{Al}-\text{O}^-$ и Ge^{3+} центров при сближении их резонансных частот $H_0^{(1)}$ и $H_0^{(2)}$ происходит также увеличение интенсивности сигналов ЭПР и Ge^{3+} центров (рис. 1). Отношение

$V(E)/V(0)$ для Ge центров при $|H_0^{(1)} - H_0^{(2)}| \rightarrow 0$ совпадает с аналогичным отношением для Al—O⁻ центров (рис. 1). Таким образом, при $|H_0^{(1)} - H_0^{(2)}| \rightarrow 0$ отношение $V(E)/V(0)$ для Al—O⁻ и Ge³⁺ центров одинаково, а по мере роста $|H_0^{(1)} - H_0^{(2)}|$ величина эффекта на Al—O⁻ центрах примерно сохраняется, а на Ge³⁺ центрах уменьшается.

Методом непрерывного насыщения сигналов ЭПР нами изучена зависимость времени спин-решеточной релаксации Ge³⁺ центров — $T_1(\text{Ge})$ от $|H_0^{(1)} - H_0^{(2)}|$. Результаты эксперимента представлены на рис. 2, где $T_{1\min}$ — время релаксации Ge³⁺ центров при $|H_0^{(1)} - H_0^{(2)}|$ порядка ширины сигналов ЭПР, равных примерно 0.5 Э. Установлено, что $T_{1\min} \approx 0.5$ с.

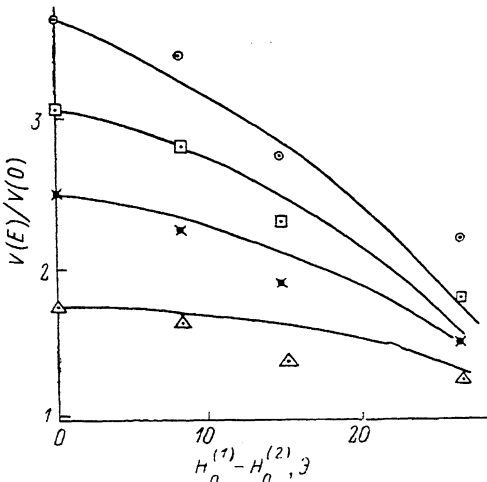


Рис. 1. Зависимости увеличения электрическим полем интенсивности сигналов ЭПР Ge³⁺ центров от разности резонансных полей Al—O⁻ и Ge³⁺ центров.

$V(E)$, $V(0)$ — интенсивность сигнала ЭПР при $E \neq 0$ и $E = 0$, E , кВ/см: 1 — 26.5, 2 — 20, 3 — 13.5, 4 — 6.5. Частота поля E для всех кривых равна 400 Гц.

Нами изучена также кинетика нарастания и спада сигналов ЭПР Ge³⁺ центров при включении и выключении переменного поля E . Установлено, что скорость изменения сигналов зависит от $|H_0^{(1)} - H_0^{(2)}|$ и примерно равна скорости релаксации Ge³⁺ центров — $[T_1(\text{Ge})]^{-1}$.

2. Обсуждение результатов

Согласно [4, 5], для Al—O⁻ центров (с которыми, кроме магнитного, связан электрический дипольный момент d , имеющий две возможные ориентации в структуре d_1 и d_2) при воздействии на них переменного поля E поляризация магнитных диполей в поле H устанавливается соответствующей поляризацией электрических диполей в поле E . Для интенсивности сигналов ЭПР при этом можно записать [4, 5]

$$V_1(E) \sim N \operatorname{th}(U_E/2kT), \quad (1)$$

где $U_E = (d_1 - d_2) E_m$ — штарковская энергия диполей d при амплитудном значении поля E ; T — температура кристалла; N — концентрация центров. Сущность процессов, приводящих к (1), согласно [4, 5], состоит в том, что переменное поле E , кроме модуляции штарковской энергии диполей d , модулирует связь электрических диполей с решеткой и магнитными диполями, что в конечном счете приводит к стационарному увеличению поляризации магнитных диполей.

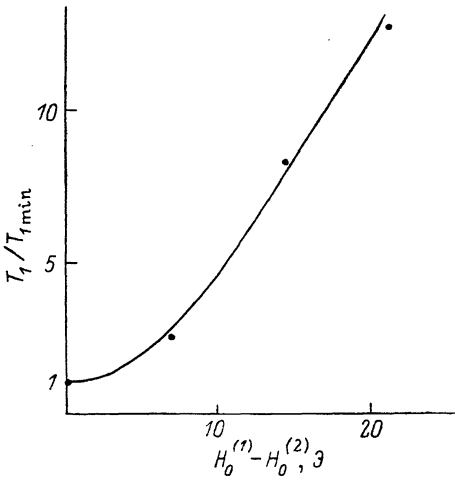


Рис. 2. Зависимость изменения времени CPP Ge³⁺ центров от $|H_0^{(1)} - H_0^{(2)}|$. Сплошная линия — расчет, точки — эксперимент.

Поскольку зеемановский зазор в поле H фиксирован $U_H = g\beta H$, то (1) удобно представить в виде

$$V_1(E) \sim N \operatorname{th}(g\beta H/2kT_s^{(1)}), \quad (2)$$

где спиновая температура $\text{Al}-\text{O}^-$ центров $T_s^{(1)} = T(g\beta H/U_E)$. Таким образом, исходя из (2), можно сказать, что поле E охлаждает систему $\text{Al}-\text{O}^-$ центров в кварце до спиновых температур ниже температуры решетки. Это охлаждение должно передаваться и другим ПЦ, которые связаны с $\text{Al}-\text{O}^-$ центрами сильнее, чем с решеткой. В нашем случае такими центрами являются Ge^{3+} центры. Сказанное проиллюстрировано на рис. 3.

Для времени спин-решеточной релаксации Ge^{3+} центров, если они посредством кросс-релаксации связаны с $\text{Al}-\text{O}^-$ центрами (рис. 3), можно записать [8] (считаем, что теплоемкости Ge^{3+} и $\text{Al}-\text{O}^-$ центров одинаковы)

$$[T_1(\text{Ge})]^{-1} = 2[w_s + w_{cr}w_{ds}/(w_{cr} + w_{ds})], \quad (3)$$

где w_s , w_{ds} — вероятности релаксационных переходов, обусловливающих связь Ge^{3+} и $\text{Al}-\text{O}^-$ центров с решеткой. Вероятность кросс-релаксации между этими центрами можно представить в виде [9]

$$w_{cr} = A \exp[-(\Pi_0^{(1)} - H_0^{(2)})^2/(\Delta H)^2], \quad (4)$$

где A — амплитудное значение вероятности кросс-релаксации, ΔH — ширина функции формы вероятности кросс-релаксации.

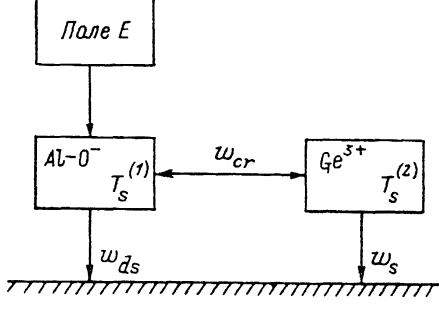


Рис. 3. Схема, поясняющая механизм охлаждения Ge^{3+} центров электрическим полем.

Исходя из (3), (4), удается объяснить экспериментальную зависимость (рис. 2). При этом следует положить $A \approx 1 \cdot 10^{-1} \text{ с}^{-1}$, $w_s \approx 1 \cdot 10^{-2} \text{ с}^{-1}$, $w_{ds} \approx 5 \text{ с}^{-1}$, $\Delta H \approx 15.5 \text{ Э}$. Принятое здесь значение величины w_{ds} соответствует времени релаксации $\text{Al}-\text{O}^-$ центров, определенному независимыми методами.

Для спиновой температуры Ge^{3+} центров в рассматриваемой ситуации (рис. 3), исходя из [8], можно записать

$$T_s^{(2)} = (T_s^{(1)} w_{cr} + T w_s)/(w_{cr} + w_s). \quad (5)$$

Интенсивность сигналов ЭПР Ge^{3+} центров с учетом их спиновой температуры можно определить выражением

$$V_2(E) \sim N \operatorname{th}(g\beta H/2kT_s^{(2)}). \quad (6)$$

Исходя из (6) удается объяснить экспериментальные зависимости (рис. 1): сплошные линии соответствуют (6) с учетом (4) и (5), спиновую температуру для $\text{Al}-\text{O}^-$ центров положить $T_s^{(1)} = 1.1$ (1), 1.4 (2), 1.7 (3) и 2.4 К (4). Эти значения $T_s^{(1)}$ близки к значениям, которые можно получить, используя выражение (2), из опытов по увеличению интенсивности $\text{Al}-\text{O}^-$ центров полем E (рис. 1). Расхождение теории и эксперимента связано с тем, что модель (рис. 3) лишь приближенно соответствует реальной системе, так как последняя имеет несколько групп $\text{Al}-\text{O}^-$ центров, относящихся к различным структурным позициям в кварце [6]; эти группы имеют разное число центров, разные резонансные частоты и т. д.

Таким образом, из экспериментов (рис. 1, 2) видно, что поле E охлаждает $\text{Al}-\text{O}^-$ и Ge^{3+} центры в кварце ниже температуры решетки. При этом охлаждение Ge^{3+} центров происходит за счет их связи с $\text{Al}-\text{O}^-$ центрами. Этот же вывод независимо подтверждается описанными выше экспериментами по кинетике, которые показали, что скорость нарастания сигналов

ЭПР Ge³⁺ центров после включения поля E равна скорости их релаксации, согласно (3), (4), зависящей от расстройки $|H_0^{(1)} - H_0^{(2)}|$. Следует отметить, что в описанных экспериментах реализована ситуация, когда система ПЦ стационарно поддерживается при температуре ниже температуры решетки с помощью нерезонансного внешнего воздействия.

Авторы благодарны В. К. Безобчуку за помощь при проведении измерений.

С п и с о к л и т е р а т у р ы

- [1] Брик А. Б., Матяш И. В., Ищенко С. С. // ЖЭТФ. 1980. Т. 79. № 10. С. 1902—1908.
- [2] Вихнин В. С., Сочава Л. С. // Изв. АН СССР. 1986. Т. 50. № 2. С. 256—259.
- [3] Вихнин В. С., Сочава Л. С., Крылов В. А., Толпаров Ю. Н. // Письма в ЖЭТФ. 1984. Т. 40. № 10. С. 426—429.
- [4] Брик А. Б., Матяш И. В., Такзей Г. А., Костишин А. М. // ФТТ. 1986. Т. 28. № 4. С. 962—965.
- [5] Брик А. Б. // ФТТ. 1985. Т. 27. № 1. С. 156—161.
- [6] Nuttal R. H. D., Weil J. A. // Canad. J. Phys. 1981. V. 59. N 11. P. 1696—1708.
- [7] Комов И. Л., Самойлович М. И. Природный кварц и его физико-химические свойства. М.: Наука, 1987. 129 с.
- [8] Апарткин В. А. Динамическая поляризация ядер в твердых телах. М.: Наука, 1980. 196 с.
- [9] Bloembergen N., Sapiro S., Pershan P. S., Artman T. O. // Phys. Rev. 1969. V. 114. N 2. P. 445—459.

Институт геохимии и физики минералов
АН УССР
Киев

Поступило в Редакцию
21 августа 1989 г.